

PAPER NAME

**4 4993-14057-2-PB.pdf**

AUTHOR

**Pujo Priyono**

WORD COUNT

**7017 Words**

CHARACTER COUNT

**32524 Characters**

PAGE COUNT

**12 Pages**

FILE SIZE

**1.3MB**

SUBMISSION DATE

**Jun 9, 2023 5:37 PM GMT+7**

REPORT DATE

**Jun 9, 2023 5:38 PM GMT+7**

### ● 19% Overall Similarity

The combined total of all matches, including overlapping sources, for each database.

- 18% Internet database
- Crossref database
- 10% Submitted Works database
- 4% Publications database
- Crossref Posted Content database

### ● Excluded from Similarity Report

- Bibliographic material
- Cited material
- Manually excluded sources
- Quoted material
- Small Matches (Less than 10 words)



4

## Studi Kapasitas Penampang Kolom pada Zona Rasio Eksentrisitas Beban Aksial yang Lebih Besar dari Eksentrisitas Balance

(Studi Kasus Gedung Integrated Laboratory for Natural Science and Food Technology Universitas Jember)

### Study of Column Cross-sectional Capacity in Axial Load Eccentricity Ratio Zone which is Greater than Balance Eccentricity

(Case Study of Integrated Laboratory for Natural Science and Food Technology University of Jember)

Alvin Ilmi Hakiki<sup>1)</sup>, Totok Dwi K<sup>2)</sup>, Pujo Priyono<sup>3)</sup>

<sup>1)</sup>Mahasiswa Fakultas Teknik, Universitas Muhammadiyah Jember

Email: [alvinilmih15@gmail.com](mailto:alvinilmih15@gmail.com)

<sup>2)</sup>Dosen Fakultas Teknik, Universitas Muhammadiyah Jember

### Abstrak

Wilayah Indonesia merupakan wilayah rawan gempa dikarenakan Indonesia terletak pada pertemuan 3 lempeng tektonik dunia. Pemangunan di Indonesia semakin berkembang dan semakin banyak gedung-gedung pencakar langit, dan begitujuga dengan peraturan pembangunan semakin berkembang yakni peraturan SNI-2847-2013 dan SNI-1726-2013 dimana kategori resiko untuk bangunan khususnya Gedung ini (Pendidikan) dari kategori resiko II menjadi kategori resiko IV. Penelitian kapasitas penampang Gedung ini membandingkan dua tinjauan yaitu berdasarkan lampiran B dan berdasarkan faktor regangan. Penelitian dilakukan dengan bantuan software SAP2000 v.22 dan didapatkan bahwa nilai faktor reduksi penampang akibat lampiran B yang di tinjau berdasarkan beban aksial lebih besar dibandingkan tinjauan berdasarkan faktor reduksi, dapat disimpulkan bahwa dengan semakin besar pengaruh momen akibat gempa tinjauan berdasarkan faktor reduksi lebih disarankan digunakan tinjauan berdasarkan lampiran B.

Kata Kunci: Bangunan Pendidikan, Perbandingan Kapasitas Penampang Kolom, Nilai Faktor Reduksi, SNI-2847-2013, SNI-1726-2013, Sap200 v.22

### Abstract

<sup>19</sup>  
*Indonesia is a region prone to earthquakes because it is located at the junction of 3 tectonic plates in the world. Development in Indonesia is increasingly developing and there are more and more skyscrapers, and likewise the development regulations are increasingly developing, the regulations is SNI-2847-2013 and SNI-1726-2013 where the risk category for buildings, especially this building (Education), is from risk category II to risk category IV. This study of the cross-sectional capacity of the building compares two reviews, based on Appendix B and the strain factor. The research was carried out with the help of SAP2000 v.22 software and it was found that the value of the cross-sectional reduction factor due to Appendix B which is reviewed based on axial load is greater than the review based on the reduction factor, <sup>27</sup> it can be concluded that the greater the effect of the moment due to the earthquake, a review based on the reduction factor is more recommended compared to the review according to Appendix B.*

**Keywords:** Education Building, Comparison of Column Cross-sectional Capacity, Reduction Factor Value, SNI-2847-2013, SNI-1726-2013, Sap200 v.22

31

### I. PENDAHULUAN

#### A. Latar Belakang

Pada saat ini dengan semakin canggihnya teknologi dan semakin banyak gedung yang

bervariasi juga di ikuti oleh berkembangnya SNI pembangunan gedung itu sendiri, selain itu wilayah Indonesia terletak di daerah rawan gempa yang mana sangat berkaitan dengan jenis dari bangunan ini yaitu pendidikan. Terjadi

perubahan kategori resiko untuk bangunan dari I – IV dan gedung untuk pendidikan termasuk kategori resiko IV dalam artian standart SNI dipertinggi faktor keamanannya.

4 Struktur kolom pada gedung Intergrated Laboratory for Natural Science and Food Technology menggunakan mutu baja U 39 untuk tuangan  $> 12$  mm U 24 untuk tulangan  $< 12$  mm, mutu Beton  $f_c = 29.05$  MPa. Jika mengikuti SNI terbaru maka ada beberapa perubahan yang berakibat pada nilai kuat tekannya, sesuai peraturan gempa SNI 1726 – 2012 bahwa setelah di analisis design seismic kabupaten jember masuk dalam kategori resiko D, yang mana harus di rancang SRPMK (Struktur Rangka Pemikul Momen Khusus) akibat dari itu karena daktilitas penuh maka simpangan gedung lebih besar dari simpangan leleh mengakibatkan kolom terkendali tarik, kolom pada kondisi Tarik akan mempunyai faktor reduksi Antara daerah transisi sampai dengan Tarik yang Menurut SNI lebih besar 0.65 dan akan memperkecil kapasitas penampang.

4 Maka dari itu penulis berinisiatif membuat Studi Kapasitas Kuat Penampang Kolom Pada Zona Rasio Eksentrisitas Beban Aksial yang Lebih Besar dari Eksentrisitas Balanace” (studi kasus Gedung Integrated Laboratory for Natural Science and Food Technology yang Disesuaikan dengan SNI - 2847 - 2013).

## B. Rumusan Masalah

Pada penulisan tugas akhir ini permasalahan yang akan diketengahkan adalah

1. Bagaimana pengaruh perubahan faktor  $\beta_1$  Pada nilai kuat tekan,  $a = \text{tinggi balok}$  tegangan terhadap perubahan nilai  $\phi$  yang berpengaruh pada kapasitas penampang kolom.
2. Perbedaan nilai faktor reduksi  $\phi$  antara nilai  $\phi$  yang ditinjau berdasarkan nilai regangan dan berdasarkan lampiran B SNI – 2847 – 2013.

## C. Tujuan Penelitian

Tujuan dari penulisan tugas akhir ini adalah

1. Melakukan studi pengaruh perubahan faktor  $\beta_1$
2. Mengetahui pengaruh perubahan nilai  $\phi$  pada kapasitas kuat penampang kolom di gedung Intergrated Laboratory for Natural Science and Food Technology Universitas Jember.

## D. Batasan Masalah

Agar studi ini tidak meluas dan tetap dalam pembahasan yang semestinya maka kita melakukan batasan masalah sebagai berikut:

1. 11 Studi kasus ini dilakukan pada pembangunan Proyek Gedung Integrated Laboratory for Natural Science and Food Technology Universitas Jember.
2. Menggunakan persyaratan beton structural untuk bagnunan gedung SNI-2847-2013 dan ACI 318-14.
3. Tidak membandingkan bentuk penampang kolom.
4. Bagian yang ditinjau adalah Struktur kolom saja.
5. Tidak memperhitungkan RAB (Rencana Anggaran Biaya).

## E. Manfaat Penelitian

Manfaat dari penulisan tugas akhir ini adalah

Diharapkan dengan hasil dari penelitian ini dapat memberikan manfaat dan informasi terhadap pembaca agar dapat mengetahui kapasitas kuat penampang pada kolom disaat nilai  $e > e_b$  yang di sesuaikan dengan ACI 318-14 dan SNI – 2847 - 2013 perihal perencanaan struktur beton

## 2. TINJAUAN PUSTAKA

### 6 Perencanaan Ketahanan Gempa

Perencanaan ketahanan gempa mengacu pada SNI 03 – 1726 - 2012 mengenai tata cara perencanaan ketahanan gempa untuk bangunan gedung.

### 1 Peraturan yang Digunakan

Pedoman peraturan yang digunakan dalam modifikasi perancangan struktur dengan Special Moment Resisting Frame ini adalah sebagai berikut :

1. <sup>6</sup> Beban minimum untuk perancangan Gedung dan struktur lainnya ( SNI-1727:2013)
2. Tata cara perhitungan struktur beton untuk bangunan Gedung ( SNI-2847:2013)
3. PPIUG 1983, digunakan sebagai pedoman pembebanan struktur.
2. Tata cara perancangan ketahanan gempa untuk struktur bangunan Gedung dan non Gedung ( SNI-1726:2012 )

### C. <sup>1</sup> Pembebanan

Jenis pembebanan yang diperhitungkan dalam perencanaan gedung ini adalah beban vertikal dan beban horisontal. Pada tahap analisa gaya-gaya dalam pada struktur utama dilakukan pembebanan dengan beberapa kombinasi pembebanan sesuai dengan ketentuan yang terdapat dalam PPIUG 1983.

#### a. Beban Vertikal

##### 1. Beban Mati (PPIUG '83 pasal 2)

Beban mati mencakup semua bagian dari struktur gedung yang bersifat tetap, termasuk segala unsur tambahan, penyelesaian-penyelesain, mesin-mesin serta peralatan tetap yang merupakan bagian tak terpisahkan dari gedung itu. Beban mati ini dihitung berdasarkan PPIUG '83.

##### 2. Beban Hidup (PPIUG'83 pasal 3)

Beban hidup adalah semua beban yang terjadi akibat penghunian dan penggunaan gedung tersebut serta kedalamnya termasuk beban-beban pada lantai yang berasal dari barang-barang yang dapat dipindahkan, mesin-mesin serta peralatan yang tidak merupakan bagian yang tidak dapat dipisahkan dari gedung dan dapat diganti selama masa hidup dari gedung itu, sehingga mengakibatkan perubahan dalam pembebanan lantai dan atap tersebut. Khususnya pada atap yang dikategorikan beban hidup dapat termasuk beban yang berasal dari air hujan, baik akibat genangan maupun akibat tekanan jatuh butiran air.

#### b. Beban Horisontal

##### 1. <sup>2</sup> Beban Angin (PPIUG '83 pasal 4)

Mencakup semua beban yang bekerja pada gedung atau bagian gedung yang disebabkan oleh selisih dalam tekanan udara. Dalam perencanaan ini beban horizontal akibat tekanan

angin diabaikan, karena pengaruhnya relatif kecil dibandingkan dengan beban horisontal akibat gempa.

#### 2. Beban Gempa (SNI – 1726 – 2012)

Mencakup semua beban statik ekivalen yang bekerja pada gedung atau bagian gedung yang meniru pengaruh dari gerakan tanah akibat gempa itu. Dengan menganalisa gedung secara 3 dimensi menggunakan metode Respons Spektrum Analisis, dimana gedung dikenakan spektrum percepatan respon gempa rencana yang dihitung menurut diagram respon spektrum gempa rencana wilayah gempa 4.

Pembebanan gempa bekerja dalam 2 arah utama gedung-gedung secara bersamaan. Kemungkinan bahwa selama suatu jangka waktu yang pendek selama gempa berlangsung, unsur-unsur struktur dalam dua arah utama (seperti balok-balok portal <sup>5</sup> 2 arah) mencapai taraf leleh secara bersamaan.

Pasal 3.3.2. peraturan gempa, Pasal ini mensyaratkan agar unsur-unsur primer direncanakan terhadap pengaruh 100% dari beban gempa rencana dalam satu arah utama dikombinasikan dengan pengaruh 30% dari beban gempa rencana dalam arah yang tegak lurus.

#### c. <sup>1</sup> Kombinasi Pembebanan

Sesuai dengan ketentuan yang telah tercantum pada SNI 1726 - 2012, digunakan sebagai pedoman perhitungan Struktur dan pendetailan semua elemen struktur, agar struktur dan komponen dari struktur memenuhi syarat dan ketentuan yang layak pakai terhadap bermacam-macam kombinasi pembebanan yang mungkin terjadi pada bangunan ini, maka harus dipenuhi ketentuan dari faktor pembebanan yang digunakan yaitu: ( SNI 03 – 2847 2013, Pasal 9.2).

- Komb I = 1.4D
- Komb II = 1.2D+1.6L
- Komb III = 1.2D+1L+1Eqx <sup>5</sup>
- Komb IV = 1.2D+1L+1Eqy
- Komb V = 0.9D+1Eqx
- Komb VI = 0.9D+1Eqy

## D. Kolom

Definisi kolom menurut SNI 03-2547-2002 adalah komponen struktur bangunan yang memiliki tugas utama menyanggah beban aksial desak vertical dengan tinggi yang ditopang paling tidak tiga kali dimensi lateral terkecil. Apabila rasio bagian tinggi dengan dimensi lateral kurang dari tiga di sebut *pedestal*.

Kegagalan struktur kolom akan berakibat langsung pada runtuhan (collapse) komponen struktur lainnya yang berhubungan dengan kolom (Sudarmoko, 1996). Umumnya kegagalan atau keruntuhan komponen tekan bersifat mendadak, tanpa diawali dengan tanda tanda peringatan yang jelas. Oleh karena itu merencanakan struktur kolom harus diperhitungkan secara cermat sebagai cadangan kekuatan yang lebih tinggi daripada komponen struktur lainnya.

Kolom tidak hanya menerima beban aksial vertical tetapi juga momen lentur, sehingga analisis kolom diperhitungkan untuk menyangga beban aksial tekan dengan eksentrisitas tertentu.

## E. Perhitungan Kapasitas Kolom

Adapun tahap-tahap dalam perhitungan kapasitas kolom sebagai berikut :

### a. Distribusi Tegangan Ekivalen

Guna penyederhanaan dalam analisis dan design penampang beton bertulang, maka SNI 2847-2013 Pasal 10.2.7, di izinkan untuk menggunakan distribusi blok tegangan ekuivalen berbentuk blok tegangan whitney, yang pertama diperkenalkan dalam jurnal ACI di tahun 1937. Blok tegangan tersebut didefinisikan sebagai:

1. Tegangan tekan merata sebesar  $0.85 f'_c$  di asumsikan terdistribusi merata pada daerah tekan ekuivalen yang dibatasi oleh penampang dan suatu garis lurus yang sejajar sumbu netral sejauh  $a = \beta_1 c$  dari serat beton yang mengalami regangan tekan maksimum
2. Jarak  $c$  dari pusat serat dengan regangan tekan maksimum ke sumbu netral harus diukur tegak lurus sumbu tersebut
3. Harga  $\beta_1$  diatur dalam SNI 2847-2013 Pasal 10.2.7.3 sebagai :

- Untuk nilai  $f'_c$  Antara 17 sampai dengan 28 MPa,  $\beta_1$  harus diambil sebesar 0.85
- Untuk  $f'_c$  diatas 28 MPa,  $\beta_1$  harus direduksi sebesar 0.05 untuk setiap kelebihan kuat tekan sebesar 7 MPa, tetapi  $\beta_1$  tidak boleh kurang dari 0.65
$$\beta_1 > 28 \text{ MPa} = 0.85 - 0.005 \cdot \frac{F'_c - 28}{7} \geq 0.65$$

Dengan anggapan bahwa perencanaan menggunakan harga  $\beta_1$  sesuai dengan ketentuan SNI 03-2847-2002 Pasal 12.2.7.3, harga  $\beta_1 = 0.85$  untuk nilai  $f'_c$  Antara 17 sampai dengan 30 MPa.

### b. Variasi Nilai $\phi$ Berdasarkan Regangan dan Lampiran B

SNI 2847-2013 Pasal 10.3, mengatur ketentuan mengenai konsep regangan yang terjadi pada penampang beton dan tulangan baja, ada tiga macam jenis penampang yakni :

1. Penampang setimbang (*balanced*). Kondisi ini terjadi padamsatu penampang ketika tulangan baja Tarik mencapai regangan lelehnya ( $\varepsilon_s$ ), sedangkan beton yang tertekan mencapai regangan ultimitnya sebesar ( $\varepsilon_c$ )0.003.

2. Penampang terkendali tekan (*compression control*). Kodisi ini terjadi pada suatu penampang ketika tulangan baja Tarik regangannya mencapai sama atau kurang dari batas regangan yang diijinkan, sedangkan beton yang tertekan mencapai regangan ultimitnya sebesar 0.003.

3. Penampang terkendali Tarik (*tension control*). Kodisi ini terjadi pada suatu penampang ketika tulangan baja Tarik regangannya mencapai sama atau melebihi dari batas regangan yang diijinkan, sedangkan beton yang tertekan mencapai regangan ultimitnya sebesar 0.003.

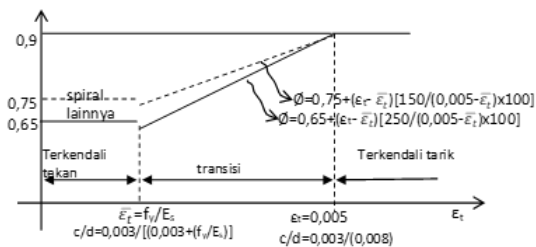
Penampang lain yang berada diantara penampang Tarik dan tekan berada pada daerah transisi.

### c. Harga Faktor Reduksi Kekuatan $\phi$

SNI 2847-2013 Pasal 9.3 mengatur tentang  $\phi$ :

1. Penampang terkendali Tarik  $\phi = 0.9$
2. Penampang terkendali tekan
  - Tulangan geser spiral  $\phi = 0.75$

- Tulangan geser yang lainnya (sengkang)  $\phi = 0.65$
3. Penampang transisi
- Tulangan geser spiral
- $$\phi = 0.75 + (\varepsilon_t - \bar{\varepsilon}_t) \cdot \left\{ \frac{150}{[(0.005 - \bar{\varepsilon}_t) \cdot 100]} \right\}$$
- Tulangan geser yang lainnya (sengkang)
- $$\phi = 0.65 + (\varepsilon_t - \bar{\varepsilon}_t) \cdot \left\{ \frac{250}{[(0.005 - \bar{\varepsilon}_t) \cdot 100]} \right\}$$



**Gambar 1** Nilai Faktor Reduksi,  $\phi$

**Tabel 1** Formulasi  $\phi$  untuk berbagai mutu baja untuk tulangan geser sengkang (lainnya)

Mutu Baja (fy)	Regangan batas, $\bar{\varepsilon}_t$	Regangan batas, $\varepsilon_t$	$\phi$
240	0,0012	$\bar{\varepsilon}_t \leq 0,0012$ 0,65	$0,0012 < \varepsilon_t < 0,005$ $0,65 - (\varepsilon_t - 0,0012) \cdot 250 / (3,8)$
300	0,0015	$\bar{\varepsilon}_t \leq 0,0015$ 0,65	$0,0015 < \varepsilon_t < 0,005$ $0,65 - (\varepsilon_t - 0,0015) \cdot 250 / 3,5$
350	0,0018	$\bar{\varepsilon}_t \leq 0,0018$ 0,65	$0,0018 < \varepsilon_t < 0,005$ $0,65 - (\varepsilon_t - 0,0018) \cdot 250 / 3,3$
400	0,002	$\bar{\varepsilon}_t \leq 0,002$ 0,65	$0,002 < \varepsilon_t < 0,005$ $0,65 - (\varepsilon_t - 0,002) \cdot 250 / 3$

SNI 03-2847-2002 tidak memiliki peraturan untuk harga faktor reduksi kekuatan  $\phi$  secara mendetail seperti SNI 2847-2013 dan harga faktor reduksi kekuatan  $\phi = 0.65$  untuk semua kategori penampang. Ketidakpastian kekuatan bahan terhadap pembebanan dianggap sebagai faktor reduksi kekuatan menurut SNI 03-2847-2013 pasal 9.3, faktor reduksi ditentukan sebagai berikut :

Untuk komponen struktur dimana  $f_y$  tidak melebihi 420 MPa, dengan tulangan simteris, dan dengan  $(d-d')/h$  tidak kurang dari 0,70,  $\phi$  diizinkan ditingkatkan secara linier sampai 0,90 sebagaimana  $\phi P_n$  berkurang dari  $0,10 f_c A_g$  sampai nol. Untuk komponen struktur lainnya,  $\phi$  diizinkan ditingkatkan secara linier sampai 0,90 sebagaimana  $\phi P_n$  berkurang dari  $0,10 f_c A_g$  atau  $\phi P_b$ , yang mana yang lebih kecil, sampai nol.

Variasi  $\phi$  ini, bisa dirumuskan sebagai:

1. Untuk kolom dengan tulangan geser sengkang ikat:

$$\phi = 0.90 - \frac{2,0\phi P_n}{A_g f'_c} \geq 0.70 \quad (2.1)$$

Yang mana akan memberikan:

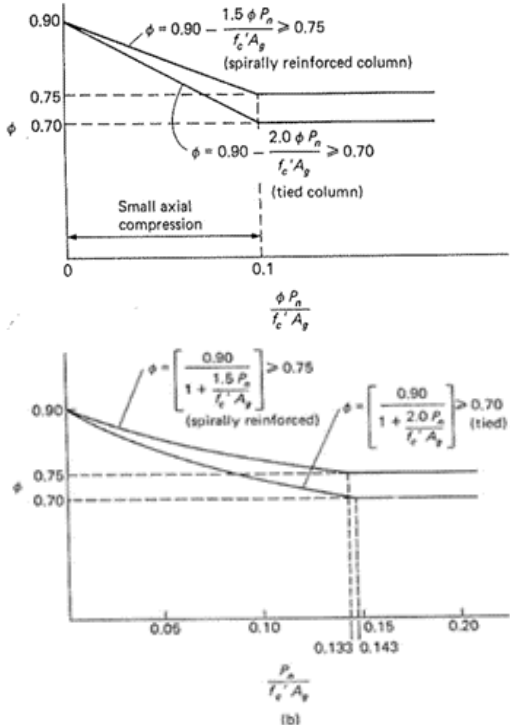
$$\phi = \left[ \frac{0,90}{1 + \frac{2,0 P_n}{A_g f'_c}} \right] \geq 0.70 \quad (2.2)$$

2. Untuk kolom dengan tulangan geser spiral :

$$\phi = 0.90 - \frac{1,5\phi P_n}{A_g f'_c} \geq 0.75 \quad (2.3)$$

Yang mana akan memberikan:

$$\phi = \left[ \frac{0,90}{1 + \frac{1,5 P_n}{A_g f'_c}} \right] \geq 0.75 \quad (2.4)$$



**Gambar 2** Variasi nilai  $\phi$  untuk kolom yang mempunyai tulangan simetris

Pers.(2.1) dan (2.2) biasanya digunakan sebagai desain preliminary, sebab dengan mencoba nilai  $A_g$ , nilai  $\phi$  percobaan yang diperoleh akan digunakan sebagai beban terfaktor  $P_u$  untuk  $\phi P_n$ . Pers. (2.3 dan (2.4) biasa digunakan untuk memeriksa suatu kolom yang telah didesain, sebab  $P_n$  kemudian dicocokan dengan nilai  $\phi$  yang telah dihitung.

### 3. METODE PENELITIAN

#### A. Lokasi dan Waktu Studi

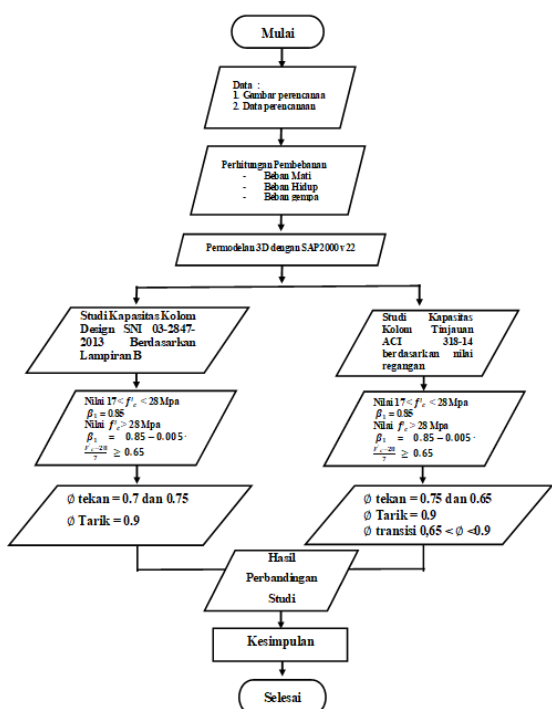
Lokasi Proyek pembangunan gedung Integrated Laboratory for Natural Science and Food Technology Universitas Jember teletak di Jl. Kalimantan No. 37, Krajan Timur, Sumbersari, Kecamatan Sumbersari, Kabupaten Jember, Jawa Timur, Kode pos : 68121. lama waktu studi di mulai pada desember 2019.



Gambar 3 Peta Lokasi Proyek

#### B. Kerangka Penelitian

Adapun kerangka penelitian dapat dilihat melalui flow chart berikut :



Gambar 4 Diagram Alir Penelitian

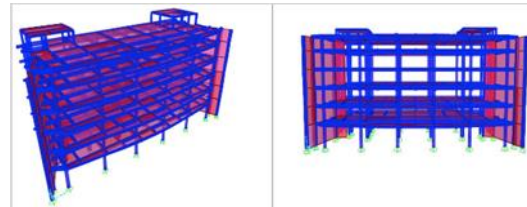
#### C. Persiapan Data

Persiapan data berupa pengumpulan data dan informasi bangunan gedung Intergrated Laboratory for Natural Science and Food Technology Universitas Jember yang diteliti, baik data sekunder maupun data primer. Data yang didapat antara lain:

- a. Gambar denah dan detail proyek gedung Intergrated Laboratory for Natural Science and Food Technology Universitas Jember.
- b. Data perencanaan Gedung yang digunakan.

### 4. ANALISA DAN PEMBAHASAN

#### A. Informasi Proyek



Gambar 5 Struktur Bangunan Output SAPV22

- Nama Projek : Gedung Integrated Laboratory for Natural Science and Food Technology
- Fungsi : Fasilitas Pendidikan
- Lokasi : Jember – Jawa Timur
- Jumlah Lantai : 7 Lantai
- Tinggi Bagunan : 27 meter
- Bahan Struktur : Beton bertulang
- Pondasi : Tiang Pancang

#### B. Mutu Bahan

- Beton Struktur : K 350 ( 29.05 MPa )
- Beton Pondasi : K 250 ( 20,75 MPa )
- Baja Tulangan : Untuk tulangan  $\leq 12 \text{ mm}$ ,  $F_y = 240 \text{ MPa}$ , Untuk tulangan  $> 12 \text{ mm}$ ,  $F_y = 390 \text{ MPa}$

#### C. Pembebanan

Struktur dibebani dengan beban akibat berat sendiri struktur, beban mati tambahan, beban hidup dan beban gempa. Beban yang digunakan yaitu :

- Beban Mati (DL)** : Berat sendiri struktur + Beban mati tambahan
- Beban Hidup (LL)** : Beban penghuni Gedung
- Beban Gempa (EQ)** : Didesain dengan metode respon spektrum berdasarkan peta wilayah gempa Indonesia.

### a. Beban Mati (DL)

Adalah berat sendiri struktur dan komponen lainnya yang harus ditinjau sebagai beban mati. ( PPIUG 1983, pasal 2.1)

Terdiri atas:

- Berat Elemen struktur ( Kolom, Balok, Pelat Lantai )
- Spesi lantai ( 2 cm ) :  $36 \text{ kg/m}^2$
- Keramik ( 1 cm ) :  $24 \text{ kg/m}^2$
- Urugan Pasir ( 3 cm ) :  $63 \text{ kg/m}^2$
- Plafon dan Penggantung :  $18 \text{ kg/m}^2$
- Pipa dan AC :  $10 \text{ kg/m}^2$
- Beban Mesin sebagai beban mati tambahan sesuai panel bangunan.
- Beban mati tangga :  $750 \text{ kg/m}^2$
- Beban dinding Bata :  $250 \text{ kg/m}^2$

### b. Beban Hidup

Adalah beban guna atau mengikuti fungsi dari suatu bangunan. ( PPIUG 1983, pasal 3.1 dan 3.2 )

- Beban Hidup pada atap :  $100 \text{ kg/m}^2$
- Beban Hidup Pendidikan :  $250 \text{ kg/m}^2$
- Beban Hidup Tangga :  $600 \text{ kg/m}^2$
- Beban Air Hujan :  $30 \text{ kg/m}^2$

### D. Perhitungan Kolom

COLUMN TYPE FLOOR	C1-A	C1-B	C2-A	C2-B
6th FLOOR 4th FLOOR				
DIMENTION	600x600	600x600	700x700	700x700
MAIN REBARS	16D22	20D22	16D22	14D22
STIRRUPS	TOP D10-100	MID D10-150	BOTTOM D10-100	D10-100
CROSSTIES	D10-100/150	D10-100/150	D10-100/150	D10-100/150
3rd FLOOR 1st FLOOR				
DIMENTION	700x700	700x700	700x700	700x700
MAIN REBARS	20D22	24D22	18D22	16D22
STIRRUPS	TOP D10-100	MID D10-150	BOTTOM D10-100	D10-100
CROSSTIES	D10-100/150	D10-100/150	D10-100/150	D10-100/150

**Gambar 6** Diagram Alir Penelitian Jenis kolom yang di tinjau

### c. C1 A lantai 1 – 3

- Mencari nilai  $e$  di masing masing kolom berdasarkan Output data frame sap2000 v22 yang di peroleh dari :  $\frac{M_3}{P}$

### Tabel 2 Output frame sap v22 plus nilai e

FrameID	OutputCaption	Type	StepType	Text	P	V2	V3	T	M2	M3	ElemStation	e	m	mm
5	5 KOMB IV Edx Combination Max	-260.444	26.057	10.007	5.8422	423.2303	99.6576				S	406.7		
53	5 KOMB III Edx Combination Max	190.586	85.304	49.986	7.828	89.6906	123.4548					649.8		
102	4 KOMB V Edx Combination Max	-265.838	23.4	16.894	8.3499	27.532	172.065					647.3		
66	0 KOMB V Edx Combination Max	173.745	55.333	64.076	8.7183	132.0042	111.9996					644.6		
52	0 KOMB VI Edx Combination Max	87.049	-25.699	10.97	7.4601	215.1703	-52.8364					607.0		
64	4 KOMB III Edx Combination Max	-266.11	-37.315	93.309	6.7864	208.8944	157.5566					592.1		
128	4 KOMB IV Edx Combination Max	-195.422	18.052	91.083	9.8124	755.5700						558.5		
103	0 KOMB VI Edx Combination Max	-480.472	-57.549	10.007	5.8422	129.2688	100.8941					339.5		
53	4 KOMB III Edx Combination Max	-379.742	-45.854	102.74	7.5496	216.1745	148.0328					529.2		
326	5 KOMB V Edx Combination Max	-620.208	98.4	33.501	8.762	176.6507	313.0577					504.8		
1030	0 KOMB V Edx Combination Max	-586.48	85.779	31.583	9.5841	130.7567	292.3697					498.5		
52	0 KOMB III Edx Combination Max	-202.153	45.854	102.74	7.5496	209.8925	-96.253					476.1		
137	4 KOMB VI Edx Combination Max	-1728.406	382.925	50.652	9.1964	99.1703	739.1317					0	427.6	
59	0 KOMB IV Edx Combination Max	-365.442	80.092	21.007	7.0001	46.398	100.3431					404.6		
223	0 KOMB V Edx Combination Max	-387.021	76.071	16.694	8.85		163.426					422.3		
1022	4 KOMB III Edx Combination Max	-480.396	10.052	18.94	8.1673	22.7609	198.3227					412.8		
1031	4 KOMB V Edx Combination Max	-341.665	18.957	12.935	9.1189	24.1122	137.2012					401.6		
127	4 KOMB VI Edx Combination Max	-1638.83	175.333	82.778	9.6994	44.3154	650.5712					397.0		
54	0 KOMB VI Edx Combination Max	-188.521	-37.315	93.309	6.7864	176.9863	-71.923					381.5		
323	4 KOMB VI Edx Combination Max	-269.187	46.492	59.666	3.2104	118.3549	100.6731					373.9		
128	4 KOMB IV Edx Combination Max	-287.406	13.052	18.94	8.1673	129.2688	100.8941					412.0		
77	4 KOMB V Edx Combination Max	252.351	50.515	56.7	8.8095	225.1082	85.6329					338.8		
136	0 KOMB V Edx Combination Max	-2151.688	393.42	38.829	8.6392	79.2973	715.1047					332.3		

- Mencari nilai regangan berdasarkan nilai  $e$  yang di peroleh dari sap2000 v22, mencari nilai regangan ( $ey$ ) pada kondisi balance, tekendali tarik, terkendali tekan dan pada koondisi transisi.

Diketahui :

$$\begin{aligned} F_y &= 390 \text{ Mpa} \\ F'_c &= 29.05 \text{ Mpa} \\ \beta_1 &= 0.85 - \left( 0.005 \times \frac{f'_c - 28}{7} \right) \\ &= 0.85 - \left( 0.005 \times \frac{29.05 - 28}{7} \right) \\ &= 0.849 \end{aligned}$$

$$\begin{aligned} A_{st} &= 20 \text{ D}^2 \\ &= n \times \frac{1}{4} \pi D^2 \end{aligned}$$

$$\begin{aligned}
 &= 20 \times \frac{1}{4} \pi 22^2 \\
 &= 7602.7 \text{ mm}^2 \\
 \text{Ast} &= \frac{1}{4} \pi D^2 \\
 &= 380.13 \text{ mm}^2
 \end{aligned}$$

Ukuran kolom

$$\begin{aligned}
 \text{Ag} &= b \times h \\
 &= 700 \times 700 \\
 &= 490000 \text{ mm}^2 \\
 \text{b} &= 700 \text{ mm} \\
 \text{h} &= 700 \text{ mm} \\
 \text{d}' &= 50 \text{ mm} \\
 \text{d} &= 650 \text{ mm} \\
 \text{E} &= 2000000 \\
 \text{Jr} &= \frac{h - (2 \times d')}{\text{jumlah spasi}} \\
 &= \frac{700 - (2 \times 50)}{5} \\
 &= 120
 \end{aligned}$$

Dalam keadaan seimbang

$$\begin{aligned}
 \text{Tercapai saat } \varepsilon'c &= 0.003, \text{ tulangan } \varepsilon_s = \varepsilon_y \\
 &= \frac{f_y}{E} \\
 &= 0.00195
 \end{aligned}$$

Jadi, nilai  $\varepsilon_s = 0.00195$

Menentukan  $x_b$ :

$$\begin{aligned}
 x_b &= \frac{600}{600 + f_y} \times d \\
 &= \frac{600}{600 + 390} \times 650 \\
 &= 393.9 \text{ mm}
 \end{aligned}$$

Menentukan nilai C1, C2, C3, T4, T5, T6, Cc

$$\begin{aligned}
 \varepsilon_1 &= \frac{x_b - d'}{x_b} \times \varepsilon_c \\
 &= \frac{393.9 - 50}{393.9} \times 0.003 \\
 &= 0.0026 > \varepsilon_s \\
 &= 0.00195
 \end{aligned}$$

Maka tulangan tekan sudah leleh

$$\begin{aligned}
 f_s1 &= f_y \\
 &= 390 \text{ Mpa}
 \end{aligned}$$

$$\begin{aligned}
 \text{C1} &= n \times a_s \times f_y \\
 &= 6 \times 380.1 \times 390 \\
 &= 889510.54 \text{ N}
 \end{aligned}$$

$$\begin{aligned}
 \varepsilon_2 &= \frac{x_b - d' - jr}{x_b} \times \varepsilon_c \\
 &= \frac{393.9 - 50 - 120}{393.9} \times 0.003 \\
 &= 0.0017 < \varepsilon_s \\
 &= 0.00195
 \end{aligned}$$

Maka tulangan tekan belum leleh

$$\begin{aligned}
 \text{Fs2} &= \varepsilon_2 \times E \\
 &= 0.0017 \times 2000000 \\
 &= 341.08 \text{ Mpa}
 \end{aligned}$$

$$\begin{aligned}
 \text{C2} &= n \times a_s \times f_y \\
 &= 2 \times 380.1 \times 341.08 \\
 &= 259308.99 \text{ N} \\
 \varepsilon_3 &= \frac{x_b - d' - (2 \times jr)}{x_b} \times \varepsilon_c \\
 &= \frac{393.9 - 50 - (2 \times 120)}{393.9} \times 0.003 \\
 &= 0.0008 < \varepsilon_s \\
 &= 0.00195
 \end{aligned}$$

Maka tulangan tekan belum leleh

$$\begin{aligned}
 \text{Fs3} &= \varepsilon_3 \times E \\
 &= 0.0008 \times 2000000
 \end{aligned}$$

$$= 158.31 \text{ Mpa}$$

$$\begin{aligned}
 \text{C3} &= n \times a_s \times f_y \\
 &= 2 \times 380.1 \times 158.31
 \end{aligned}$$

$$= 120355.86 \text{ N}$$

$$\begin{aligned}
 \varepsilon_4 &= \frac{d - x - (2 \times jr)}{d - x} \times \varepsilon_y \\
 &= \frac{650 - 393.9 - (2 \times 120)}{650 - 393.9} \times 0.00195 \\
 &= 0.00012 < \varepsilon_s \\
 &= 0.00195
 \end{aligned}$$

Maka tulangan tekan belum leleh

$$\begin{aligned}
 \text{Fs4} &= \varepsilon_4 \times E \\
 &= 0.00012 \times 2000000
 \end{aligned}$$

$$= 24.462 \text{ Mpa}$$

$$\begin{aligned}
 \text{T4} &= n \times a_s \times f_y \\
 &= 2 \times 380.1 \times 24.462
 \end{aligned}$$

$$= 18597 \text{ N}$$

$$\begin{aligned}
 \varepsilon_5 &= \frac{d - x - jr}{d - x} \times \varepsilon_y \\
 &= \frac{650 - 393.9 - 120}{650 - 393.9} \times 0.00195 \\
 &= 0.00104 < \varepsilon_s \\
 &= 0.00195
 \end{aligned}$$

Maka tulangan tekan belum leleh

$$\begin{aligned}
 \text{Fs5} &= \varepsilon_5 \times E \\
 &= 0.00104 \times 2000000
 \end{aligned}$$

$$= 207.231 \text{ Mpa}$$

$$\begin{aligned}
 \text{T5} &= n \times a_s \times f_y \\
 &= 2 \times 380.1 \times 207.231
 \end{aligned}$$

$$= 157550.39 \text{ N}$$

$$\begin{aligned}
 \varepsilon_6 &= \varepsilon_s \\
 &= 0.00195
 \end{aligned}$$

Maka tulangan tekan sudah leleh

$$\begin{aligned}
 \text{Fs6} &= f_y \\
 &= 390 \text{ Mpa}
 \end{aligned}$$

$$\begin{aligned}
 \text{T6} &= n \times a_s \times f_y \\
 &= 6 \times 380.1 \times 390
 \end{aligned}$$

$$= 889510.54 \text{ N}$$

$$\begin{aligned}
 \text{Cc}^{14} &= 0.85 \times f'_c \times b \times (\beta_1 \times x_b) \\
 &= 0.85 \times 29.05 \times 700 \times (0.849 \times 393.9) \\
 &= 5782665.49 \text{ N}
 \end{aligned}$$



Gaya normal total :

$$\begin{aligned} \text{Pnb} &= C_1 + C_2 + C_3 + C_c - T_4 - T_5 - T_6 \\ &= 5986182.7 \text{ N} \\ &= 5986 \text{ KN} \end{aligned}$$

Mencari jarak C1, C2, C3, Cc, T4, T5, T6 terhadap garis berat penampang

$$\begin{aligned} A_1 &= 350 - 50 \\ &= 300 \text{ mm} \\ A_2 &= 350 - 120 - 50 \\ &= 180 \\ A_3 &= 350 - 120 - 120 - 50 \\ &= 60 \text{ mm} \\ A_4 &= 300 - 120 - 120 \\ &= 60 \text{ mm} \\ A_5 &= 300 - 120 - 120 \\ &= 60 \text{ mm} \\ A_6 &= 300 \text{ mm} \\ Ac &= 350 - 0.5 \times (\beta_1 \times xb) \end{aligned}$$

$$= 350 - 0.5 \times (0.849 \times 393.9)$$

$$= 182.7 \text{ mm}$$

Momen terhadap garis berat penampang

$$\begin{aligned} M_{nb} &= (C_1 \times A_1) + (C_2 \times A_2) + (C_3 \times A_3) + \\ &\quad (C_c \times Ac) + (T_4 \times A_4) + (T_5 \times A_5) + \\ &\quad (T_6 \times A_6) \\ &= 1673706992 \text{ N-mm} \\ &= 1673.707 \text{ KN-m} \end{aligned}$$

$$\text{eb} = \frac{M_{nb}}{P_{nb}}$$

$$= 280$$

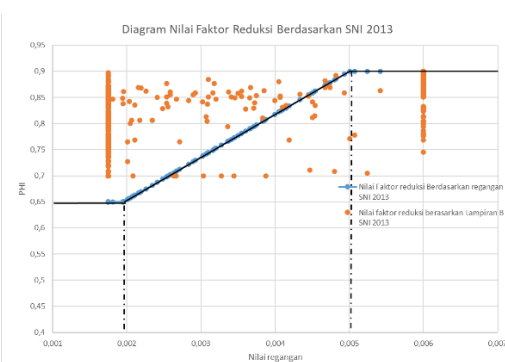
1. Menghitung nilai  $\phi$  berdasarkan nilai regangan

- Jika nilai  $\epsilon_y > 0.005$  maka nilai  $\phi = 0.9$
- Jika nilai  $\epsilon_y < 0.00195$  maka nilai  $\phi = 0.65$
- Jika nilai  $0.00195 > \epsilon_y < 0.005$  maka nilai

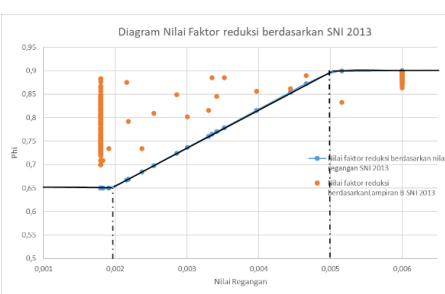
$$\phi = 0.65 + \left( (\epsilon_y - 0.00195) \times \frac{250}{(0.005 - 0.00195) \times 1000} \right)$$

**Tabel 3** output frame sap v22 setelah input  $\epsilon_y$  dan nilai  $\phi$

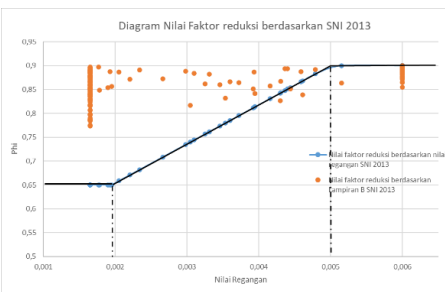
Station	OutputCode	CaseType	ShapeType	P	V1	V2	V3	V4	V5	T	M1	M2	M3	E	SNI 2013	Pnb (Ag x f'c)	$\phi$	Lampiran B SNI 2013	
																		Ag x f'c (N)	
33	4 KOMBI IV Edz	Combination Max	Max	130,583	24,1	17,533	17,533	17,533	17,533	0	644,3	0,006	0,9	14234500	0,0098	0,998	0,998		
56	0 KOMBI IV Edz	Combination Max	Max	173,749	55,333	64,075	8,7383	132,0342	52,9996	0	644,6	0,006	0,9	14234500	0,0134	0,973	0,973		
57	0 KOMBI IV Edz	Combination Max	Max	87,049	-25,699	104,97	7,4601	215,1703	-52,8364	0	607,0	0,006	0,9	14234500	0,0048	0,9	0,9		
58	0 KOMBI V Edz	Combination Max	Max	268,11	-37,315	93,309	6,7964	208,8844	157,5566	4	592,1	0,006	0,9	14234500	0,0048	0,9	0,9		
59	0 KOMBI V Edz	Combination Max	Max	133,871	10,333	10,333	10,333	133,871	10,333	4	558,1	0,006	0,9	14234500	0,0048	0,9	0,9		
5029	0 KOMBI V Edz	Combination Max	Max	490,472	67,549	32,098	7,0518	129,288	264,5943	0	539,5	0,0055	0,9	14234500	0,0048	0,9	0,9		
52	0 KOMBI VI Edz	Combination Max	Max	279,742	102,74	7,546	216,7145	148,0134	0	529,2	0,00517	0,9	14234500	0,0042	0,9	0,9			
525	0 KOMBI VI Edz	Combination Max	Max	202,153	-45,854	102,74	7,546	209,8925	-96,253	4	476,3	0,00469	0,9	14234500	0,0042	0,9	0,9		
537	0 KOMBI V Edz	Combination Max	Max	172,406	382,929	50,652	9,3964	99,1792	739,1317	4	427,6	0,00407	0,9	14234500	0,1214	0,700	0,700		
54	0 KOMBI VI Edz	Combination Max	Max	386,481	86,892	22,67	7,0518	46,7988	164,1426	4	426,2	0,00404	0,9	14234500	0,0042	0,9	0,9		
551	0 KOMBI VI Edz	Combination Max	Max	202,153	-45,854	102,74	7,546	209,8925	-96,253	4	384,4	0,00404	0,9	14234500	0,0042	0,9	0,9		
550	0 KOMBI VI Edz	Combination Max	Max	386,481	86,892	22,67	7,0518	46,7988	164,1426	4	384,4	0,00404	0,9	14234500	0,0042	0,9	0,9		
552	0 KOMBI VI Edz	Combination Max	Max	202,153	-45,854	102,74	7,546	209,8925	-96,253	4	384,4	0,00404	0,9	14234500	0,0042	0,9	0,9		
553	0 KOMBI VI Edz	Combination Max	Max	386,481	86,892	22,67	7,0518	46,7988	164,1426	4	384,4	0,00404	0,9	14234500	0,0042	0,9	0,9		
554	0 KOMBI VI Edz	Combination Max	Max	202,153	-45,854	102,74	7,546	209,8925	-96,253	4	384,4	0,00404	0,9	14234500	0,0042	0,9	0,9		
555	0 KOMBI VI Edz	Combination Max	Max	386,481	86,892	22,67	7,0518	46,7988	164,1426	4	384,4	0,00404	0,9	14234500	0,0042	0,9	0,9		
556	0 KOMBI VI Edz	Combination Max	Max	202,153	-45,854	102,74	7,546	209,8925	-96,253	4	384,4	0,00404	0,9	14234500	0,0042	0,9	0,9		
557	0 KOMBI VI Edz	Combination Max	Max	386,481	86,892	22,67	7,0518	46,7988	164,1426	4	384,4	0,00404	0,9	14234500	0,0042	0,9	0,9		
558	0 KOMBI VI Edz	Combination Max	Max	202,153	-45,854	102,74	7,546	209,8925	-96,253	4	384,4	0,00404	0,9	14234500	0,0042	0,9	0,9		
559	0 KOMBI VI Edz	Combination Max	Max	386,481	86,892	22,67	7,0518	46,7988	164,1426	4	384,4	0,00404	0,9	14234500	0,0042	0,9	0,9		
560	0 KOMBI VI Edz	Combination Max	Max	202,153	-45,854	102,74	7,546	209,8925	-96,253	4	384,4	0,00404	0,9	14234500	0,0042	0,9	0,9		
561	0 KOMBI VI Edz	Combination Max	Max	386,481	86,892	22,67	7,0518	46,7988	164,1426	4	384,4	0,00404	0,9	14234500	0,0042	0,9	0,9		
562	0 KOMBI VI Edz	Combination Max	Max	202,153	-45,854	102,74	7,546	209,8925	-96,253	4	384,4	0,00404	0,9	14234500	0,0042	0,9	0,9		
563	0 KOMBI VI Edz	Combination Max	Max	386,481	86,892	22,67	7,0518	46,7988	164,1426	4	384,4	0,00404	0,9	14234500	0,0042	0,9	0,9		
564	0 KOMBI VI Edz	Combination Max	Max	202,153	-45,854	102,74	7,546	209,8925	-96,253	4	384,4	0,00404	0,9	14234500	0,0042	0,9	0,9		
565	0 KOMBI VI Edz	Combination Max	Max	386,481	86,892	22,67	7,0518	46,7988	164,1426	4	384,4	0,00404	0,9	14234500	0,0042	0,9	0,9		
566	0 KOMBI VI Edz	Combination Max	Max	202,153	-45,854	102,74	7,546	209,8925	-96,253	4	384,4	0,00404	0,9	14234500	0,0042	0,9	0,9		
567	0 KOMBI VI Edz	Combination Max	Max	386,481	86,892	22,67	7,0518	46,7988	164,1426	4	384,4	0,00404	0,9	14234500	0,0042	0,9	0,9		
568	0 KOMBI VI Edz	Combination Max	Max	202,153	-45,854	102,74	7,546	209,8925	-96,253	4	384,4	0,00404	0,9	14234500	0,0042	0,9	0,9		
569	0 KOMBI VI Edz	Combination Max	Max	386,481	86,892	22,67	7,0518	46,7988	164,1426	4	384,4	0,00404	0,9	14234500	0,0042	0,9	0,9		
570	0 KOMBI VI Edz	Combination Max	Max	202,153	-45,854	102,74	7,546	209,8925	-96,253	4	384,4	0,00404	0,9	14234500	0,0042	0,9	0,9		
571	0 KOMBI VI Edz	Combination Max	Max	386,481	86,892	22,67	7,0518	46,7988	164,1426	4	384,4	0,00404	0,9	14234500	0,0042	0,9	0,9		
572	0 KOMBI VI Edz	Combination Max	Max	202,153	-45,854	102,74	7,546	209,8925	-96,253	4	384,4	0,00404	0,9	14234500	0,0042	0,9	0,9		
573	0 KOMBI VI Edz	Combination Max	Max	386,481	86,892	22,67	7,0518	46,7988	164,1426	4	384,4	0,00404	0,9	14234500	0,0042	0,9	0,9		
574	0 KOMBI VI Edz	Combination Max	Max	202,153	-45,854	102,74	7,546	209,8925	-96,253	4	384,4	0,00404	0,9	14234500	0,0042	0,9	0,9		
575	0 KOMBI VI Edz	Combination Max	Max	386,481	86,892	22,67	7,0518	46,7988	164,1426	4	384,4	0,00404	0,9	14234500	0,0042	0,9	0,9		
576	0 KOMBI VI Edz	Combination Max	Max	202,153	-45,854	102,74	7,546	209,8925	-96,253	4	384,4	0,00404	0,9	14234500	0,0042	0,9	0,9		
577	0 KOMBI VI Edz	Combination Max	Max	386,481	86,892	22,67	7,0518	46,7988	164,1426	4	384,4	0,00404	0,9	14234500	0,0042	0,9	0,9		
578	0 KOMBI VI Edz	Combination Max	Max	202,153	-45,854	102,74	7,546	209,8925	-96,253	4	384,4	0,00404	0,9	14234500	0,0042	0,9	0,9		
579	0 KOMBI VI Edz	Combination Max	Max	386,481	86,892	22,67	7,0518	46,7988	164,1426	4	384,4	0,00404	0,9	14234500	0,0042	0,9	0,9		
580	0 KOMBI VI Edz	Combination Max	Max	202,153	-45,854	102,74	7,546	209,8925	-96,253	4	384,4	0,00404	0,9	14234500	0,0042	0,9	0,9		
581	0 KOMBI VI Edz	Combination Max	Max	386,481	86,892	22,67	7,0518	46,7988	164,1426	4	384,4	0,00404	0,9	14234500	0,0042	0,9	0,9		
582	0 KOMBI VI Edz	Combination Max	Max	202,153	-45,854	102,74	7,546	209,8925	-96,253	4	384,4	0,00404	0,9	14234500	0,0042	0,9	0,9		
583	0 KOMBI VI Edz	Combination Max	Max	386,481	86,892	22,67	7,0518	46,7988	164,1426	4	384,4	0,00404	0,9	14234500	0,0042	0,9	0,9		
584	0 KOMBI VI Edz	Combination Max	Max	202,153	-45,854	102,74	7,546	209,8925	-96,253	4	384,4	0,00404	0,9	14234500	0,0042	0,9	0,9		
585	0 KOMBI VI Edz	Combination Max	Max	386,481	86,892	22,67	7,0518	46,7988	164,1426	4	384,4	0,00404	0,9	14234500	0,0042	0,9	0,9		
586	0 KOMBI VI Edz	Combination Max	Max	202,153	-45,854	102,74	7,546	209,8925	-96,253	4	384,4	0,00404	0,9	14234500	0,0042	0,9	0,9		
587	0 KOMBI VI Edz	Combination Max	Max	386,481	86,892	22,67	7,0518	46,7988	164,1426	4	384,4	0,00404	0,9</						



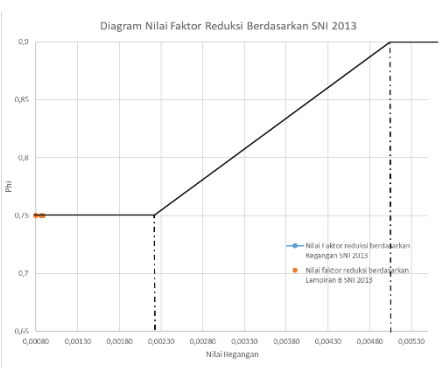
**Gambar 8** Diagram nilai factor reduksi SNI – 03 – 2847 – 2013 C1 A lt 4-6



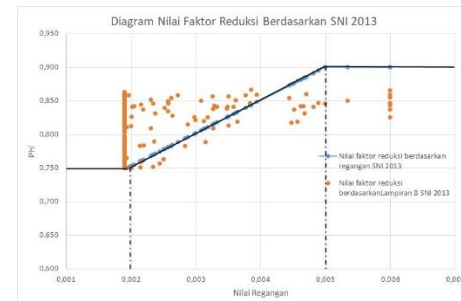
**Gambar 9** Diagram nilai factor reduksi SNI – 03 – 2847 – 2013 C1 B lt 1-3



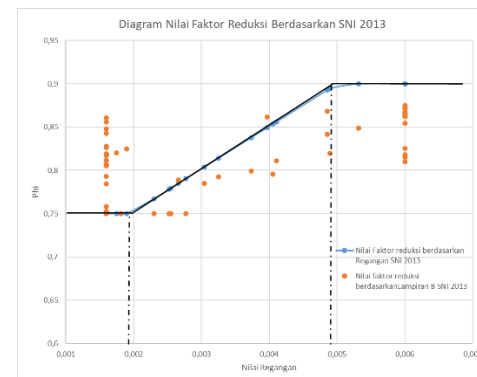
**Gambar 10** Diagram nilai factor reduksi SNI – 03 – 2847 – 2013 C1 B lt 4-6



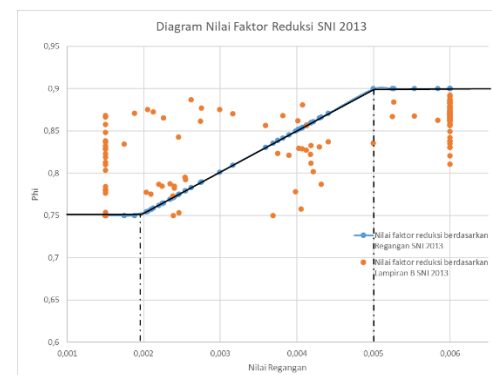
**Gambar 11** Diagram nilai factor reduksi SNI – 03 – 2847 – 2013 C2 A lt 1-3



**Gambar 12** Diagram nilai factor reduksi SNI – 03 – 2847 – 2013 C2 A lt 4-6



**Gambar 13** Diagram nilai factor reduksi SNI – 03 – 2847 – 2013 C2 B lt 1-3



**Gambar 14** Diagram nilai factor reduksi SNI – 03 – 2847 – 2013 C2 B lt 4-6

## 5. PENUTUP

### A. Kesimpulan

**Tabel 5** Selisih nilai  $\beta_1$  terhadap Pn dan Mn

Jenis kolom	Nilai $\beta_1 = 0,85$		Nilai $\beta_1 = 0,84925$		Percantase penurunan nilai Pn	Percantase penurunan nilai Mn
	Pn (KN)	Mn (KN-m)	Pn (KN)	Mn (KN-m)		
C1 - A LT 1-3	5991,29	1673,785	5986,18	1673,707	0,085%	0,005%
C1 - A LT 4-6	4344,57	1287,920	4330,87	1287,673	0,085%	0,019%
C1 - B LT 1-3	6042,17	1795,159	6037,06	1795,080	0,085%	0,004%
C1 - B LT 4-6	4380,19	1387,705	4376,48	1387,458	0,085%	0,018%
C2 - A LT 1-3	4784,85	1135,660	4779,75	1135,582	0,107%	0,007%
C2 - A LT 4-6	4771,58	1082,357	4766,48	1082,279	0,107%	0,007%
C2 - B LT 1-3	4771,58	1082,357	4766,48	1082,279	0,107%	0,007%
C2 - B LT 4-6	4580,01	1080,750	4574,91	1080,672	0,111%	0,007%

1. Pengaruh nilai  $\beta_1$  terhadap kapasitas kolom ternyata terjadi penurunan jika diukur dalam bentuk prosentase paling besar sejauh 0.111% dan untuk momen penurunan terbesar sebanyak 0.019%, dari prosentase tersebut dapat dikatakan bahwa penurunan yg terjadi sangat kecil dan tidak signifikan akan tetapi tetap perlu di perhitungkan, karena disini nilai  $f'_c$  yg saya gunakan adalah 29.05 Mpa tidak terpaut jauh selisihnya dengan batas  $f'_c$  28 Mpa. Namun jika selisih mutu beton yang digunakan dan mutu beton batasnya terpaut jauh nilai perubahan  $\beta_1$  sangat perlu di pertimbangkan karena pasti akan membuat penurunan nilai pada Pn dan Mnnya.
2. Dapat di simpulkan bahwa ada beberapa kasus yang terjadi

**Tabel 6** Perbandingan Nilai factor reduksi

Frame Station	P	M	M <sub>m</sub>	e	SNI 2013	Lampiran B SNI 2013		
						phi	Ag X Fc (N)	Pu / (Ag X Fc)
66	0	-2,465	117,2464	47564,5	0,006	0,9	1423450	0,0002
77	4	5,476	82,8266	15125,4	0,006	0,9	1423450	0,0004
65	0	7,485	-72,506	9686,8	0,006	0,9	1423450	0,0005
64	4	-19,628	134,3693	6845,8	0,006	0,9	1423450	0,0014
62	4	-32,797	134,0158	4086,2	0,006	0,9	1423450	0,0023
62	4	28,858	110,8314	3840,6	0,006	0,9	1423450	0,0020
83	5	93,6	311,227	3325,1	0,006	0,9	1423450	0,0066
62	0	44,791	-115,1791	2571,5	0,006	0,9	1423450	0,0031
64	0	57,961	-95,6732	1656,0	0,006	0,9	1423450	0,0041
65	5	174,248	284,1758	1630,9	0,006	0,9	1423450	0,0122
65	5	-89,501	131,5727	1470,1	0,006	0,9	1423450	0,0063
77	0	83,065	104,5429	1258,6	0,006	0,9	1423450	0,0058
66	4	-80,054	79,5199	993,3	0,006	0,9	1423450	0,0056
65	5	-325,609	302,0584	927,7	0,006	0,9	1423450	0,0229
64	4	134,122	120,4763	898,3	0,006	0,9	1423450	0,0094
83	5	392,289	309,9965	790,2	0,006	0,9	1423450	0,0276
66	4	115,553	84,7365	733,3	0,006	0,9	1423450	0,0081
83	5	140,144	99,4575	709,7	0,006	0,9	1423450	0,0098
83	0	190,586	123,8458	649,8	0,006	0,9	1423450	0,0134
1032	4	-265,838	172,0765	647,3	0,006	0,9	1423450	0,0187
66	0	173,745	111,9996	644,6	0,006	0,9	1423450	0,0122
62	0	87,049	-52,8364	607,0	0,006	0,9	1423450	0,0061
64	4	-266,111	157,5566	592,1	0,006	0,9	1423450	0,0187
128	4	-1353,285	755,5704	558,3	0,00580	0,9	1423450	0,0951
1029	0	-490,472	264,5943	539,5	0,00556	0,9	1423450	0,0345
62	4	-279,742	148,0338	529,2	0,00537	0,9	1423450	0,0197
325	5	-620,208	313,0577	504,8	0,00507	0,90	1423450	0,0436
1030	0	-586,48	292,3697	498,5	0,00496	0,90	1423450	0,0412
62	0	-202,153	-96,253	476,1	0,00469	0,87	1423450	0,0142
137	0	-1728,406	739,1317	472,6	0,00407	0,82	1423450	0,1214
49	0	-386,481	164,813	426,4	0,00404	0,82	1423450	0,0272
323	0	-387,021	163,426	422,3	0,00399	0,82	1423450	0,0272
1032	4	-480,396	198,3237	412,8	0,00385	0,81	1423450	0,0337
1031	4	-341,665	137,2012	401,6	0,00370	0,79	1423450	0,0240
127	4	-1638,83	650,5712	397,0	0,00362	0,79	1423450	0,1151
64	0	-188,521	-71,923	381,5	0,00340	0,77	1423450	0,0132
523	0	-269,187	100,6371	373,9	0,00324	0,76	1423450	0,0189
128	4	-2315,138	864,2152	373,3	0,00322	0,75	1423450	0,1626
62	4	275,802	96,6134	351,0	0,00295	0,73	1423450	0,0194
77	4	252,352	85,4939	338,8	0,00278	0,72	1423450	0,0177
136	4	-2151,688	715,1047	332,3	0,00269	0,71	1423450	0,1512
77	0	310,544	101,6629	327,4	0,00262	0,70	1423450	0,0218
1029	5	-417,732	135,352	324,0	0,00258	0,70	1423450	0,0293
77	0	306,276	306,0295	308,8	0,00251	0,70	1423450	0,0336
65	0	168,624	53,3034	317,6	0,00249	0,69	1423450	0,0144
1030	0	347,677	306,0295	308,8	0,00236	0,68	1423450	0,0468
1029	0	-849,657	259,4244	305,5	0,00231	0,68	1423450	0,0597
525	0	-547,468	166,5714	304,3	0,00230	0,68	1423450	0,0385

10 a. Beban aksial besar dan momen diabaikan maka pada kondisi ini keruntuhan akan terjadi oleh hancurnya beton.

10 b. Beban aksial besar dan momen kecil sehingga seluruh penampang tertekan, pada kondisi ini keruntuhan terjadi oleh runtuhnya beton dan semua tulangan tekan.

c. Kondisi beban seimbang, saat e

d. Momen besar, beban aksial kecil jika e di tambah maka keruntuhan terjadi akibat tulangan meleleh sebelum hancurnya beton

Jadi dari ke 8 jenis kolom diatas setelah dibandingkan berdasarkan table diatas nilai faktor reduksi  $\phi$  berdasarkan lampiran B dan nilai regangan, bahwa nilai  $\phi$  yang diperoleh dari lampiran B nilainya lebih besar dari nilai  $\phi$  yang di peroleh dari nilai regangan pada kondisi tekan dan transisi itu disebabkan oleh kasus a, sedangkan pada kondisi tarik nilai  $\phi$  yang diperoleh dari nilai regangan lebih besar dibanding nilai  $\phi$  yang diperoleh dari lampiran B.

Mengapa pada acuan SNI 2847 2013 ada penambahan mencari nilai faktor reduksi berdasarkan nilai regangan karena pada SNI 2847 2013 mempertimbangkan pengaruh perbandingan momen dan aksial tekan, itu dijelaskan bahwa jika banyak mengandalkan beban aksial tekan saja maka beton saja yang menahan beban tersebut. Sedangkan jika perbandingan momen dan tekan maka yang tertekan bukan hanya dari beton saja melainkan dua sisi tulangan tekan dan betonnya.

### B. Saran

Jadi menurut saya dengan semakin besar efek gempa pada bangunan untuk kedepannya tinjauan faktor reduksi pada kolom tidak di tinjau hanya dari segi aksial tekannya saja, melainkan harus menggunakan perbandingan antara momen yang terjadi dengan beban aksial tekan, sehingga nilai tersebut bisa lebih complex lagi. Lebih tepatnya menggunakan tinjauan berdasarkan Nilai regangan disbanding lampiran B.

Untuk nilai  $B_1$  perlu di pertimbangkan untuk penggunaan mutu beton yang melebihi 28Mpa lebih tepatnya yg memiliki selisih yang jauh dari 28 Mpa semisal  $> 35$  Mpa.

## DAFTAR PUSTAKA

- Imran, Iswandi., Zulkifli, Ediansjah., 2014, “*Perencanaan Dasar Struktur Beton Bertulang*”, Bandung: ITB Press.
- Nasution, Amrinsyah., 2009, “*Analisis dan Desain Struktur Beton Bertulang*”, Bandung: Penerbit ITB.
- Pamungkas, Anugrah., Harianti Enry., 2018, “*STRUKTUR BETON BERTULANG TAHAN GEMPA*”, Yogyakarta: ANDI OFFSET.
- Priyono, Pujo., 2018, “*Struktur Beton Jilid 1*”. Jember: Universitas Muhammadiyah Jember.
- Priyono, Pujo., 2019, “*Struktur Beton Jilid 2*”. Jember: Universitas Muhammadiyah Jember.
- Priyono, Pujo., 2019, “*Struktur Beton Tahan Gempa Jilid 2*”. Jember: Pustaka Abadi.
- *Tata Cara Perhitungan Struktur Beton Untuk Bangunan Gedung. SK SNI 03-2847-2002.*
- *Tata Cara Perhitungan Struktur Beton Untuk Bangunan Gedung. SK SNI 03-2847-2013.*
- *Tata Cara Perencanaan Ketahanan Gempa Untuk Struktur Bangunan Gedung dan Non Gedung. SK SNI 03-1726-2012.*
- Wang, Chu-Kia., Salmon, Charles g., Pincheira., Jose A., 2007, “*REINFORCED CONCRETE DESIGN 7<sup>th</sup> Edition*” ,USA: University of Wisconsin-Madison.

## ● 19% Overall Similarity

Top sources found in the following databases:

- 18% Internet database
- Crossref database
- 10% Submitted Works database
- 4% Publications database
- Crossref Posted Content database

---

### TOP SOURCES

The sources with the highest number of matches within the submission. Overlapping sources will not be displayed.

1	<b>id.scribd.com</b>	3%
	Internet	
2	<b>repository.its.ac.id</b>	2%
	Internet	
3	<b>eprints.itn.ac.id</b>	2%
	Internet	
4	<b>id.123dok.com</b>	1%
	Internet	
5	<b>fdocuments.net</b>	1%
	Internet	
6	<b>text-id.123dok.com</b>	1%
	Internet	
7	<b>eprints.umm.ac.id</b>	1%
	Internet	
8	<b>eprints.binadarma.ac.id</b>	<1%
	Internet	

9	edoc.site	<1%
	Internet	
10	digilib.its.ac.id	<1%
	Internet	
11	repository.unej.ac.id	<1%
	Internet	
12	Politeknik Negeri Bandung on 2017-08-15	<1%
	Submitted works	
13	jurnal.unej.ac.id	<1%
	Internet	
14	Politeknik Negeri Bandung on 2017-08-16	<1%
	Submitted works	
15	ronymedia.wordpress.com	<1%
	Internet	
16	RMIT University on 2022-03-25	<1%
	Submitted works	
17	repositori.unsil.ac.id	<1%
	Internet	
18	Universitas Atma Jaya Yogyakarta on 2019-06-20	<1%
	Submitted works	
19	eprints.uty.ac.id	<1%
	Internet	
20	Associatie K.U.Leuven on 2022-05-05	<1%
	Submitted works	

21	Politeknik Negeri Bandung on 2018-08-10	<1%
	Submitted works	
22	digilib.unila.ac.id	<1%
	Internet	
23	journal.univpancasila.ac.id	<1%
	Internet	
24	media.neliti.com	<1%
	Internet	
25	Hellenic Open University on 2019-07-02	<1%
	Submitted works	
26	repository.uinbanten.ac.id	<1%
	Internet	
27	worldwidescience.org	<1%
	Internet	
28	Politeknik Negeri Bandung on 2018-08-09	<1%
	Submitted works	
29	eprints.umpo.ac.id	<1%
	Internet	
30	idoc.pub	<1%
	Internet	
31	kumpulanmakalahpdf098.blogspot.com	<1%
	Internet	
32	repository.ummat.ac.id	<1%
	Internet	

33

coursehero.com

Internet

&lt;1%